

ΠΟΙΟΤΙΚΟΣ ΕΛΕΓΧΟΣ ΤΩΝ ΥΠΟΓΕΙΩΝ ΝΕΡΩΝ ΤΩΝ ΥΔΡΟΦΟΡΩΝ ΣΧΗΜΑΤΙΣΜΩΝ ΤΟΥ ΥΔΑΤΙΚΟΥ ΔΙΑΜΕΡΙΣΜΑΤΟΣ ΤΗΣ ΑΝΑΤΟΛΙΚΗΣ ΜΑΚΕΔΟΝΙΑΣ (ΤΕΤΑΡΤΟΓΕΝΕΙΣ ΑΠΟΘΕΣΕΙΣ-ΜΑΡΜΑΡΑ).*

ΔΑΣΚΑΛΑΚΗ Π.¹

ΠΕΡΙΛΗΨΗ

Στη παρούσα εργασία γίνεται ο υδροχημικός χαρακτήρας των υπόγειων υδάτων των υδροπεριφερών σχηματισμών του υδατικού διαμερίσματος της ανατολικής Μακεδονίας, με βάση τα αποτελέσματα 76 χημικών αναλύσεων από τούριμης θέσης δειγματοληψίας, οι οποίες πραγματοποιήθηκαν κατά το χρονικό διάστημα 1980-1996.

Μελετώνται δέκα (10) υδροχημικές παραμέτρους, pH, EC, Ca, Mg, Na, K, Cl, NO₃, SO₄, HCO₃ και παραλλήλα πραγματοποιείται στατιστική επεξεργασία των υδροχημικών δεδομένων με οποιότο την ανίχνευση εφεύρεταιν όχισεν των υπολογισθέντων υδροχημικών παραμέτρων.

ABSTRACT

The hydrochemical character of groundwaters of permeable formations of east Macedonia is studied, based on the chemical analyses of 76 water samples taken from equal in number sites, for a 16-years period (1980-1996).

Ten (10) hydrochemical parameters pH, EC, Ca, Mg, Na, K, Cl, NO₃, SO₄, HCO₃ are studied, while a statistical method is applied to the hydrochemical data in order to find any probable relationships among the hydrochemical parameters.

KEY WORDS: Υδροχημεία, Στατιστική, Υπόγεια ήδατα, Groundwater, Hydrochemistry, Statistic.

1. ΕΙΣΑΓΩΓΗ

Το ιδατικό διαμέρισμα της ανατολικής Μακεδονίας έχει έκταση 7.791 km² και συνορεύει δυτικά με τους ορεινούς όγκους του Μαυροβούνιου, του Βερτίσου και των Κερδινάλιων, ανατολικά με τους ορεινούς όγκους Φαλασαρού, Ορβήλου και των ορέων της Λεζάνης, βόρεια με τη Βοϊνγκαρία και νότια βρέχεται από το Θρακικό πέλαγος.

Το διαμέρισμα γεωγραφικά περιλαμβάνει το νομό Σερρών και τμήματα των νομών Καβάλας και Δράμας.

Το μεγαλύτερο μέρος των υδατικών διαμερίσματος της ανατολικής Μακεδονίας καταλαμβάνεται από τη λεπτή του ποταμού Στρυμόνα, που έχει συνολική έκταση 16.550 km² και διαφέρεται σε τρεις υποεκάνες: α) των Σερρών, β) της Αράμας και γ) του Νευροκοπίου.

* HYDROCHEMISTRY OF GROUNDWATERS OF PERMEABLE FORMATIONS IN THE WATER DISTRICT OF EAST MACEDONIA (QUATERNARY DEPOSITS-MARBLES)

¹ Γεωλόγος-Υποψήφια διδακτορίας, Εργαστήριο Υδροχημείας, Τμήμα Γεωλογίας, Πανεπιστήμιο Ηπείρου, 26110, Ρίο, Πατρών. Ψηφιακή Βιβλιοθήκη "Θεόφραστος" - Τμήμα Γεωλογίας, Α.Π.Θ.

Ο ποταμός Στρυμώνας έχει δύο κλάδους τροφοδοσίας εκτός Ελλάδας, στη Βουλγαρία και στην πρώην Γιουγκοσλαβία, διασχίζει τη λεκάνη των Σερρών και εκβάλλει στον κόπτο Ορφανού, στο Θρακικό πέλαγος.

Κατά τη διαδομή του δέχεται τα επιφανειακά νερά του ποταμού Αγγίτη, ο οποίος αποστραγγίζει τη λεκάνη της Λράμας και του Νευροκοπίου. Παλαιότερα τα νερά του Στρυμώνα σχημάτιζαν τη λίμνη του Αχινού, η οποία όμως αποξηράθηκε και μετατράπηκε σε καλλιεργήσιμη γη. Το γεγονός αυτό οδήγησε στη δημιουργία της τεχνητής λίμνης της Κερκίνης.

Το διαμέρισμα της ανατολικής Μακεδονίας αποστραγγίζεται επίσης από τον ποταμό Μαξιμαρά και ορισμένα μικρότερα ρέματα που βρίσκονται στο νότιο τμήμα του.

Στην ανατολική Μακεδονία ο μεγαλύτερος αριθμός βιομηχανικών μονάδων λειτουργεί στο νομό Σερρών γύρω από την ομώνυμη πόλη. Στους νομούς Λράμας και Σερρών υπάρχουν οριοθετημένες βιομηχανικές περιοχές. Οι βιομηχανίες που λειτουργούν είναι στο μεγαλύτερο τους ποσοστό βιομηχανίες μεταποίησης και συσκευασίας αργοτικών προϊόντων. Αποδέκτης των αποβλήτων των βιομηχανιών είναι κατά κύριο λόγο η επιφανειακή απορροή του διαμερίσματος, γεγονός που θέτει σε κίνδυνο τους υπόγειους υδροφόρους.

2. ΓΕΩΛΟΓΙΚΗ ΔΟΜΗ ΤΗΣ ΠΕΡΙΟΧΗΣ ΕΡΕΥΝΑΣ

Το υδατικό διαμέρισμα της ανατολικής Μακεδονίας καταλαμβάνεται κυρίως από τη Σερβομακεδονική μάζα και τη μάζα της Ροδόπης. Αναλυτικότερα οι γεωλογικοί σχηματισμοί που δομούν το διαμέρισμα της ανατολικής Μακεδονίας διακρίνονται στις παρακάτω ενότητες (Μουντζάκης 1985, Κατσικάτσος 1992):

α. Τεταρτογενείς αποθέσεις, που διακρίνονται: α) σε αλλοιωθιακές οι οποίες ουνιστώνται κυρίως από υλικά αιματώδη, αργιλικά και αιματοχαλικώδη τα οποία έχουν μεταφερθεί από τους ποταμούς και τους χειμάρρους της περιοχής και β) διλουβιακές που αποτελούνται βασικά από λατυποχροκαλοπαγή και είναι σχηματισμοί παλαιών πλευρικών κορυφών.

β. Τριτογενείς αποθέσεις: Νεογενή, που αποτελούνται από μάρμες, φαρμακίτες και λατυποχροκαλοπαγή που ανήκουν σε ποικίλες φάσεις σχηματισμού (θαλάσσια, υφάλμυρα, λιμναία). Η επιφανειακή ανάπτυξη του Νεογενούς είναι μεγάλη τόσο στις λεκάνες των Σερρών και Δράμας όσο και στη λεκάνη του Νευροκοπίου.

γ. Παλαιοζωϊκοί σχηματισμοί, που καταλαμβάνουν μεγάλο τμήμα του υδατικού διαμερίσματος της ανατολικής Μακεδονίας.

Συγκεκριμένα, στο δυτικό τμήμα της λεκάνης του Στρυμώνα επεκρατούν σχιστόλιθοι, αιμιβιολίτες και γνεύσιοι (Σερβομακεδονική μάζα) ενώ στο ανατολικό τμήμα επεκρατούν μάρμαρα (μάζα της Ροδόπης).

δ. Μαγματικά πετρώματα. Οι εχογενείς σχηματισμοί αντιπροσωπεύονται από διάφορους τύπους και ηλικίας πετρώματα (γρανίτες Κορητιδικού και Ησιοκάστρου, ρυόλιθοι Πλειο-Πλειστόκαινου και περιδοτίτες Παλαιοζωϊκού) και καταλαμβάνουν μεγάλη έκταση μέσα στο χώρο της λεκάνης του ποταμού Στρυμώνα.

3. ΥΔΡΟΛΟΓΙΑ-ΥΔΡΟΓΕΩΛΟΓΙΑ ΤΗΣ ΠΕΡΙΟΧΗΣ ΕΡΕΥΝΑΣ.

Το ύψος βροχής παρουσιάζει μία άνιση κατανομή σε όλη την έκταση του διαμερίσματος της ανατολικής Μακεδονίας, με τις μεγαλύτερες τιμές στους ορεινούς όγκους Βροντούς, Μπελές, Μενούκιου, Αγκιστρου, Φαλακρού, Λευκάνης και Παγγαίουν. Το μέσο ετήσιο ύψος βροχής στο πεδινό τμήμα είναι 600 mm.

Η κατείδυση των νερών της βροχής και του χιονιού είναι μεγάλη στα ανθρακικά πετρώματα ενώ στους υπόλοιπους γεωλογικούς σχηματισμούς, οι οποίες ορεινές και ημιορεινές περιοχές, είναι μικρή. Η κατείδυση στα μάρμαρα και στα διλουβιακά κορυφολογήματα μετεβαίνει το 50 % των ατμοσφαιρικών κατακρημνισμάτων.

Στο δυτικό και βόρειο τμήμα του διαμερίσματος η επιφανειακή απορροή είναι μεγαλύτερη από ό,τι στο ανατολικό στο οποίο επιχρωτοίν οι σχηματισμοί των μαρμάρων.

Οι απώλειες νερού λόγω εξατμισοδιαπνοής είναι μεγάλες τόσο στα πεδινά, όσο και στα ορεινά-ημιορεινά τμήματα του ιδιαίτερου διαμερίσματος της ανατολικής Μακεδονίας, σε όλους τους σχηματισμούς εκτός των καρστικών.

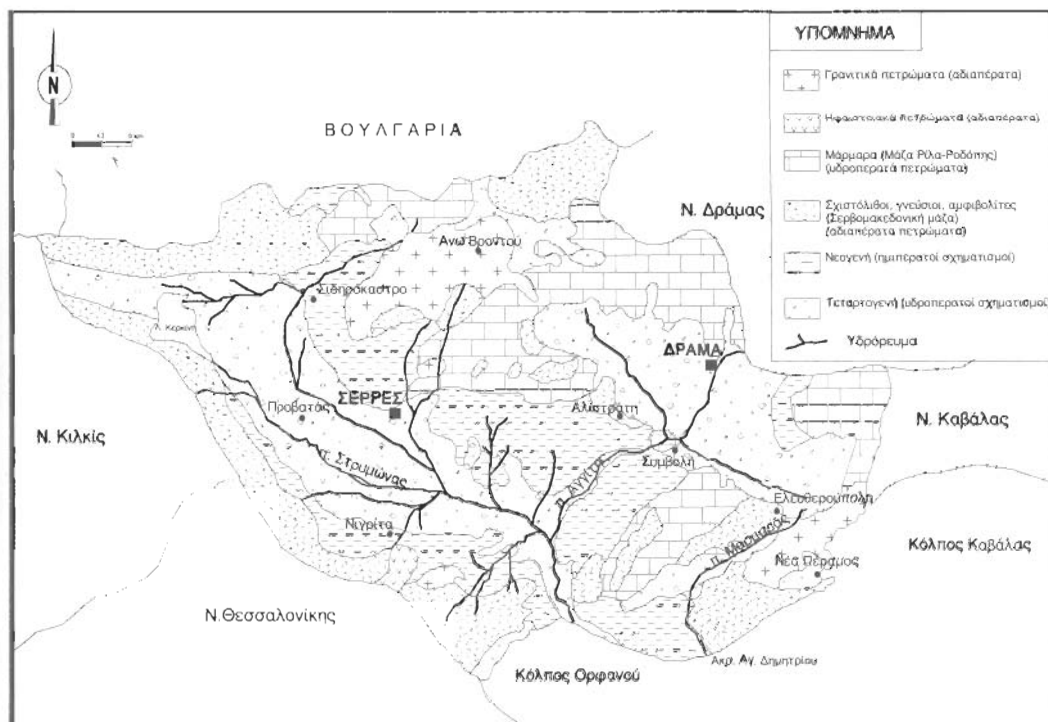
Τα υδρορεύματα κατά την πορεία τους στα πεδινά του διαμερίσματος τροφοδοτούν τους υπόγειους υδροφόρους. Οι κυριότεροι υδροφόροι ορίζοντες αναττίσσονται:

α) Στις τεταρτογενείς αποθέσεις των λεκανών Σερρών, Δράμας, Νευροκοπίου καθώς και της λεκάνης του ποταμού Μαριμαρά. Η πτώσεια υδροφορία αυτών είναι πολύ πλούσια τόσο στους ανάττερους όσο και στους κατώτερους ορίζοντες,

β) Στα μάρμαρα της ζώνης Ρίλα-Ροδόπης. Στο σύνολό τους είναι καταχρηματισμένα, υδροπερατά, με μεγάλο συντελεστή κατεύδυσης. Τα μάρμαρα παρουσιάζουν καθολική σχεδόν ανάπτυξη στο ανατολικό τμήμα του διαμερίσματος και αποτελούν το σημαντεύοντα παράγοντα στην εκδήλωση των πηγών του τμήματος αποτομής. Στο δυτικό τμήμα όπου η επιφανειακή ανάπτυξη των μαρμάρων είναι πολύ μικρή, αυτά δεν επηρεάζουν τις υδρογεωλογικές συνθήκες της περιοχής σε ειδύ φάσμα, εκτός από ορισμένες τοπικές και μεμονωμένες περιπτώσεις (περιοχή Ορέσκειας).

4. ΥΔΡΟΧΗΜΕΙΑ

Στα πλαίσια της υδροχημικής μελέτης των υδροπερατών σχηματισμών του ιδιαίτερου διαμερίσματος της ανατολικής Μακεδονίας (Τεταρτογενείς αποθέσεις, Μάρμαρα), σχεδιάστηκε αρχικά ο αντίστοιχος υδρολιθολογικός χάρτης (Σχήμα 1).



Εικόνα 1: Υδρολιθολογικός χάρτης του ιδιαίτερου διαμερίσματος της ανατολικής Μακεδονίας.

Figure 1: Hydrogeological map of the water district of east Macedonia.

Στη συνέχεια επιλέχθησαν 76 σημεία (Σχήμα 2) δειγματοληψίας από πηγές, και γεωτρήσεις, που καλύπτουν όλη την περιοχή έρευνας και συγχεντούθηκαν οι αγίστοτερες γηπεζές τους αναλύσεις οι οποίες πραγματοποιήθηκαν από το Υπόγειο Ερευνητικό Τμήμα Γεωλογίας Α.Π.Θ.

καν Ερευνών (I.E.M.E.) (Κυθήραις, 1983), το Ηπειρωτικό Αθηνών και το εργαστήριο Υδροχειλίσματος του Γεωλογικού Τμήματος του Ηπειρωτικού Πατρών, κατά το χρονικό διάστημα 1980-1996.

α. Τεταρτογενείς αποθέσεις. Σύμφωνα με τα δεδομένα των Πίνακα 1 όπου παρουσιάζονται οι αναλύσεις των δεγμάτων στα Τεταρτογενή επικρατέστερα από τα κατιόντα και τα ανιόντα είναι αυτά των αιθεοτίου και της οξενής ανθρακικής φύσεως αντιστοιχα, γεγονός που δηλώνει ότι τα νερά γενικά είναι διανυθεασικά αιθεοτόνα (Καλλέρης 1986, Λαμπράκης 1991).

Οι συγκεντρώσεις των ιόντων Na^+ και K^+ ομιλούνται σε μία κατηγορία $\text{Na}^+=0.5 \text{ meq/l}$ και $\text{K}^+=0.25 \text{ meq/l}$. Εξάρετη αποτέλεσμα τα δεγματα των γεωτρήσεων Γ7, Γ8, Γ76, που εμφανίζουν υψηλές συγκεντρώσεις νατρίου ($\text{Na}^+=8.11 \text{ meq/l}$), επτάς των επιφερετών ορίων ($\text{Na}^+=6.5 \text{ meq/l}$) πιθανώς λόγω των θερέων τους κοντά στον ποταμό Στριμόνα (Γ7, Γ8) και στον Κόλπο Ορμονού (Γ76). Η τροφοδοσία των πηγών προέρχεται από τον ποταμό Στριμόνα (Γ7, Γ8) και η διείσδυση του θαλασσινού νερού (Γ76), προκαλούν αλλαγή στη γηινή σύσταση των νερών.

Στα περιοδούτερα δεγματα, ότι συγκεντρώσεις των γλυπτών και των ιόντων της θετίνης φύσεως κυμαίνονται σε χαμηλά επίπεδα και μέσα στα επιτρεπτά όρια ποσιμότητας ($\text{Cl}^- = 5.64 \text{ meq/l}$, $\text{SO}_4^{2-} = 5.2 \text{ meq/l}$). Μοναδική έξαρετη αποτέλεσμα η γεωτρήση Γ76 ($\text{Cl}^- = 9.01 \text{ meq/l}$), εποδηλώνοντας την είσοδο του θαλασσινού νερού στην ενδοχώρα.

Από τον Πίνακα 1, παρατηρείται ότι οι συγκεντρώσεις των ιόντων αιθεοτίου και μοργνητών κυμαίνονται μέσα στα επιτρεπτά όρια ποσιμότητας ($\text{Mg}^{2+} = 4.11 \text{ meq/l}$, $\text{Ca}^{2+} = 4.99 \text{ meq/l}$) επτάς από αυτό των γεωτρήσεων Γ78, Γ80, Γ81, Γ83, Γ84, Γ86, Γ88, Γ89, Γ90, Γ91, Γ93, Γ94, Γ95, Γ96, που παρουσιάζουν πηλές τιμές ιόντων αιθεοτίου ($\text{Ca}^{2+} = 5.19-10.58 \text{ meq/l}$) λόγω των θερέων τους σε τεταρτογενείς αποθέσεις οι οποίες αποτίθονται πάνω σε σημαντικούς μαρμάρους πλούτους σε αιθεοτόνα ορυκτά (Σχήμα 1).

Σε όλα τα δεγματα της κατηγορίας αυτής τα ιόντα της νιτρικής φύσεως εμφανίζουν χαμηλές τιμές και δεν υπερβαίνουν το ανότατο αποδεκτό όριο ποσιμότητας ($\text{NO}_3^- = 0.8 \text{ meq/l}$), με έξαρετη την γεωτρήση Γ45 ($\text{NO}_3^- = 0.89 \text{ meq/l}$). Η εμφάνιση υψηλών συγκεντρώσεων νιτρικών ιόντων οφείλεται πιθανότερα στην αξέμενη χρήση φετοφαρμάκων και λιπαριμάτων στις καλλιέργειες, καθώς και στις αγροτικές δραστηριότητες που αναπτύσσονται στην περιοχή.

Η ηλεκτρική αγωγμότητα περιλαμβάνει ένα έναρη φάσμα τιμών μεταξύ 60-1540 $\mu\text{S/cm}$.

Οι τιμές του pH κυμαίνονται σε ψηλά επίπεδα ($\text{pH} > 7$), φανερώνοντας τον αλκαλικό χαρακτήρα των νερών και τη γηινή ανανέωσή τους.

Ο μεγάλος αριθμός δεδομένων απαιτεί τη στατιστική επεξεργασία τους, ώστε να ανιχνευθούν οι εποικιακές σχέσεις των μεταβλητών καθώς και οι αρχίσεις μεταξύ αυτών των μεταβλητών και των θερέων δεγματοληπτισμάτων. Για το όποιο από τα εφαρμόστηκε η στατιστική μέθοδος της πολυμεταβλητής ανάλυσης R-τύπου.

Η στατιστική μέθοδος της πολυμεταβλητής ανάλυσης R-mode Factor Analysis (R-mode Factor Analysis) έχει τηθενθεί σε πολλούς τομείς των γεωεπιστημάτων δίνοντας έμπλετη αποτελέσματα (DAVIS 1973, BRIZ-KISHORE et al 1989, ΠΑΠΑΘΕΟΔΩΡΟΥ 1993, ΛΑΣΚΑΛΑΚΗ-ΒΟΥΔΟΥΡΗΣ 1996).

Ο συζύγος της μέθοδου αυτής, είναι ο επολογισμός ενός μετρού αριθμού παραγόντων (factors) που να εκφράζουν με ψηλά ποσοτά διασχισμούς (Variance) τις αρχικές μεταβλητές.

Με τον τρόπο αυτό επιτυχίαται η αποκάλυψη των κυρίων σχέσεων μεταξύ των μεταβλητών και συνεπώς των κυριαρχών παραγόντων, αλλά και η μείωση της πολυτελούστητας των πίνακα δεδομένων χωρίς σημαντική απόλεια πληροφοριών. Επίσης η παραγόντική ανάλυση παρέχει τη διανυτότητα του επολογισμού της γεωφαρμάκης επίδρασης των προκυπτώντων παραγόντων.

Η εφαρμογή της R-τύπου παραγόντικής ανάλυσης στα νερά σημαντικά δεδομένα των γηινών αναλύσεων των δεγμάτων ολοκληρώνεται στα παρακάτω στάδια:

α) Στο πρώτο στάδιο, έγινε η διεύθυνση των αρχικών μεταβλητών υπό τη μορφή πίνακα (data matrix) αφού πρώτα μετασχηματιστούν σε μετεβλητές υπό "τιτοποιημένη μορφή" (Standardized) σύμφωνα με τη σχέση:

$$Z_i = \frac{X_i - X_{\bar{m}}}{S} \quad \text{όπου:}$$

Z_i = μεταβλητή υπό τιτοποιημένη μορφή (Standardized variable)

$X_{\bar{m}}$ = μέση τιμή της μεταβλητής "Θεόφραστος" - Τμήμα Γεωλογίας, Α.Π.Θ.

S = τιμή σημαντική μεταβλητής

<i>a/a</i>		pH	EC	Mg	Ca	Na	K	Cl	SO ₄	NO ₃	HCO ₃
1	Γ4	7,60	550,00	2,32	0,88	3,00	0,02	1,35	0,01	0,00	5,80
2	Γ5	7,90	450,00	0,70	1,12	3,60	0,08	0,40	0,09	0,02	5,06
3	Γ6	7,90	665,00	1,32	1,65	4,75	0,07	0,45	0,63	0,13	6,64
4	Γ7	7,95	1475,00	6,04	2,32	10,71	0,22	1,35	0,96	0,14	16,70
5	Γ8	7,50	1540,00	4,04	3,76	8,96	0,11	0,90	1,50	0,00	14,58
6	Π26	7,80	360,00	0,24	2,80	0,23	0,03	0,15	0,28	0,12	2,90
7	Π27	7,80	490,00	0,56	3,84	0,22	0,01	0,15	0,22	0,25	4,32
8	Π28	7,90	340,00	0,42	2,56	0,15	0,01	0,10	0,18	0,00	1,39
9	Π33	7,75	460,00	0,20	3,68	0,23	0,03	0,15	0,24	0,05	4,46
10	Π35	7,60	420,00	0,20	3,24	0,20	0,03	0,20	0,18	0,20	4,43
11	Π36	7,60	560,00	0,38	4,44	0,25	0,02	0,20	0,26	0,12	4,26
12	Π37	7,70	560,00	0,26	4,44	0,28	0,03	0,45	0,35	0,28	5,00
13	Γ45	7,24	500,00	0,59	4,57	0,32	0,04	0,73	0,12	0,89	5,08
14	Γ46	7,30	570,00	0,58	4,59	0,31	0,04	0,51	0,09	0,08	5,00
15	Γ47	8,10	397,00	0,66	2,46	0,96	0,06	0,75	0,48	0,25	2,95
16	Γ48	8,20	450,00	0,81	3,14	0,87	0,03	1,15	0,00	0,02	4,20
17	Γ49	7,72	315,00	0,53	1,74	0,70	0,21	0,60	0,00	0,05	2,30
18	Γ50	8,54	303,00	0,64	2,00	0,44	0,03	0,50	0,00	0,05	2,30
19	Γ51	8,43	355,00	0,56	2,58	0,39	0,03	0,50	0,29	0,10	2,80
20	Γ52	8,15	397,00	1,55	2,62	0,17	0,03	0,32	0,00	0,08	4,20
21	Γ53	7,72	474,00	0,92	3,61	0,35	0,03	0,40	0,00	0,05	4,90
22	Γ54	8,06	291,00	0,54	2,08	0,23	0,03	0,20	0,27	0,00	2,60
23	Γ55	7,98	594,00	0,72	4,46	0,64	0,05	0,41	0,59	0,50	4,60
24	Γ56	8,66	296,00	1,48	1,66	0,15	0,01	0,35	0,35	0,00	2,80
25	Γ57	8,35	233,00	1,08	1,26	0,15	0,02	0,28	0,00	0,00	2,00
26	Γ58	8,31	269,00	0,90	1,26	0,30	0,04	0,35	0,00	0,00	2,00
27	Γ59	8,31	167,00	0,34	1,10	0,35	0,07	0,35	0,00	0,00	1,35
28	Γ60	8,30	109,00	0,04	0,68	0,30	0,05	0,32	0,00	0,00	0,70
29	Γ61	8,00	154,00	0,24	1,10	0,30	0,05	0,35	0,00	0,00	1,40
30	Γ62	8,38	255,00	0,52	1,70	0,35	0,05	0,25	0,25	0,03	2,10
31	Γ63	8,43	329,00	0,73	1,70	0,57	0,11	0,58	0,29	0,07	2,20
32	Γ64	8,82	508,00	0,60	3,96	0,55	0,15	0,36	0,60	0,10	3,40
33	Γ65	8,01	271,00	0,58	1,44	0,41	0,03	0,22	0,74	0,00	1,70
34	Γ66	8,12	305,00	0,80	1,97	0,17	0,08	0,19	0,41	0,00	2,40
35	Γ67	7,82	344,00	0,76	2,48	0,15	0,02	0,16	0,61	0,00	3,00
36	Γ68	7,86	348,00	0,76	2,28	0,11	0,02	0,17	0,43	0,00	2,90
37	Γ69	8,20	275,00	0,48	2,14	0,14	0,02	0,16	0,04	0,00	2,50
38	Γ70	8,13	335,00	0,72	2,56	0,09	0,02	0,21	0,32	0,03	2,95
39	Γ71	8,02	332,00	0,52	2,60	0,17	0,03	0,20	0,15	0,00	2,80
40	Γ72	8,51	281,00	0,50	1,64	0,57	0,03	0,55	0,00	0,05	2,15
41	Γ73	8,61	523,00	1,24	3,34	1,04	0,05	0,82	0,00	0,00	4,65
42	Γ74	8,18	349,00	0,74	2,14	0,35	0,03	0,39	0,27	0,10	2,45
43	Γ75	8,14	360,00	0,56	2,12	0,67	0,03	0,34	0,18	0,25	26,50
44	Γ76	7,91	1574,00	1,90	3,16	10,88	0,26	9,01	1,36	0,00	4,90
45	Γ78	7,30	660,00	3,61	6,99	0,51	0,03	1,50	0,42	0,18	4,60
46	Γ80	7,30	660,00	2,01	6,39	0,35	0,03	0,34	0,46	0,20	5,00
47	Γ81	7,20	460,00	0,60	5,99	0,22	0,03	0,51	0,06	0,31	4,26
48	Γ83	7,40	490,00	1,41	5,19	0,69	0,14	0,59	0,54	0,20	16,06
49	Γ84	7,40	510,00	2,21	7,78	0,28	0,03	0,45	0,02	0,20	2,95
50	Γ86	7,10	730,00	0,60	10,58	0,64	0,03	0,42	1,77	0,32	5,33
51	Γ87	7,30	740,00	2,01	5,19	3,76	0,03	0,65	0,06	0,05	5,90
52	Γ89	7,70	410,00	2,01	5,59	0,15	0,02	0,56	0,04	0,27	4,29
53	Γ90	6,90	890,00	0,80	8,98	0,43	0,03	0,42	0,90	0,64	4,67
54	Π91	7,30	440,00	0,60	5,39	0,13	0,02	0,23	0,10	0,16	4,34
55	Γ93	7,20	750,00	5,82	5,79	2,21	0,02	0,79	0,73	0,15	5,79
56	Γ94	7,40	750,00	4,42	6,19	1,11	0,03	1,50	1,67	0,57	5,90
57	Γ95	7,50	360,00	0,40	3,79	1,19	0,02	0,45	0,58	0,06	5,74
58	Γ96	7,60	530,00	3,21	5,59	0,43	0,03	0,45	1,77	0,04	5,98

pH [-log(H⁺), moles/l], **EC [μS/cm]

Πίνακας 1: Αποτελέσματα χημικών αναλύσεων (meq/l) στους τεταρτογενείς σχηματισμούς της περιοχής έρευνας.

Table 1: Data matrix for 58 groundwater samples of Quaternary deposits of the study area. (All values in meq/l unless otherwise noted).

Ψηφιακή Βιβλιοθήκη "Θεόφραστος" - Τμήμα Γεωλογίας, Α.Π.Θ.

Ο μετασχηματισμός αυτός είναι απαραίτητος ώστε οι αρχικές τιμές να καταστούν ιδιάστατες.

β) Ακόλουθης ο υπολογισμός των διακυμάνσεων-συνδιακυμάνσεων (variance/covariance) των μεταβλητών υπό τυποποιημένη μορφή ή των συντελεστών συσχέτισης των αρχικών μεταβλητών σύμφωνα με τη σχέση:

$$\Gamma = \frac{\sum_i (x_i - x_m)(y_i - y_m)}{\left\{ \left[\sum_i (x_i - x_m)^2 \right] \left[\sum_i (y_i - y_m)^2 \right] \right\}^{1/2}}$$

όπου x και y είναι η i-οσή τημή των μεταβλητών x και y και x_m , y_m είναι οι μέσες τιμές τους. Οι οιντελεστές συσχέτισης (Γ) διευθεύνονται υπό μορφή πίνακα (correlation matrix).

γ) Στη οινέχεια επιλέγεται ο πίνακας συσχέτισης και υπολογίζονται οι ιδιοτιμές (eigenvalues) και τα οιντσοί ιδιοδιανύσματα (eigenvectors).

δ) Μετασχηματίζονται τα δεδομένα σε παραγόντες (factors) και επιλέγονται οι ομιλητικότεροι, απορρίπτοντας αυτούς που οτερούνται υδροχημικής σημασίας. Επιλέχθηκε ένα τετραμελές μοντέλο, το οποίο εργάζεται το 82,2% περίπου της ολικής διακύμανσης των δεδομένων.

ε) Ακόλουθη η περιστροφή (rotation) των αξόνων των πιούριων διατηρούμενων παραγόντων σε νέες θέσεις για ασφαλέστερη ερμηνεία των αποτελεσμάτων. Η περιστροφή των αξόνων έγινε με το κριτήριο της μέριοτης διακύμανσης (Varimax) (KAIER, 1958). Τα οτοιχεία των παραγόντων ονομάζονται φορτίοις (loadings) και είναι ονοματικά οι οιντελεστές συσχέτισης μεταξύ των μεταβλητών και των τεοοαριθμών παραγόντων.

στ) Στο τέλος υπολογίστηκαν οι παραγοντικές τιμές (factor scores), δηλαδή η επίδραση κάθε παραγόντα στις θέσεις δειγματοληψίας

Στον Πίνακα 2, δίνονται οι παραγοντικές φορτίοις για το τετραμελές μοντέλο.

Μεταβλητές/Παράγοντες	1	2	3	4
pH	0,04	-0,72	-0,31	-0,06
EC	0,63	0,29	0,59	0,25
Mg	0,14	0,08	0,84	0,25
Ca	-0,07	0,86	0,31	-0,07
Na	0,73	-0,13	0,49	0,30
K	0,84	-0,15	0,04	0,22
Cl	0,88	0,04	0,16	-0,15
SO ₄	0,31	0,34	0,65	0,00
NO ₃	0,01	0,85	-0,16	0,20
HCO ₃	0,13	0,13	0,23	0,91

Πίνακας 2: Πίνακας παραγοντικών φορτίοτων για το τετραμελές μοντέλο.

Table 2: Varimax rotated factor matrix (loadings for the varimax rotated 4-factor model).

Η εφαρμογή της μεθόδου R-τύπου παραγοντικής ανάλυσης οδήγησε στην ανεύρεση μιας αρινητικής σχέσης μεταξύ του pH και των νιτρικών ίόντων στα περισσότερα δείγματα. Το γεγονός αυτό δηλώνει τη συνεχή ανανέωση των ρεύμάτων η οποία δεν επιτρέπει τη διατήρηση των υψηλών συγγεντρώσεων NO₃⁻. Η ελάττωση του δυναμικού οξειδωταναγωγής προκαλεί απονίτωση, που οδηγεί στη μείωση της συγγέντρωσης των νιτρικών ίόντων ενώ παράλληλα προκαλεί μείωση των υδρογονονοσατιόντων και συνεπώς αύξηση του pH.

β. ΜΑΡΜΑΡΑ.

Τα υδροχημικά χαρακτηριστικά του υπόγειου νερού στους σηματισμούς των μαρμάρων, μελετήθηκαν με βάση τα αποτελέσματα των ζητευόντων αναλυτικών 18 δείγμάτων από πηγές κατά το

χρονικό διάστημα 1978-1996 (Πίνακας 3).

Από τα στοιχεία του Πίνακα 3 φαίνεται ότι επιχρωτέστερα κατιόντα και ανιόντα είναι αυτά του αιθεριού και της δύσινης ανθρακικής ρίζας αντίστοιχα, γεγονός που δηλώνει ότι τα νερά γενικά είναι δισανθρακικά αιθεροτούχα.

α/α	pH	EC**	Mg	Ca	Na	K	Cl	SO ₄	NO ₃	HCO ₃
59	Π2	7,70	335,00	1,04	1,96	0,22	0,02	0,25	0,11	0,00
60	Π3	7,80	352,00	1,42	1,88	0,21	0,02	0,25	0,15	0,00
61	Π9	7,10	432,00	0,60	3,04	0,24	0,03	0,20	0,13	0,00
62	Π10	7,40	480,00	0,66	3,24	0,39	0,03	0,20	0,46	0,00
63	Π12	7,90	310,00	0,84	2,40	0,34	0,02	0,10	0,41	0,06
64	Π13	7,60	370,00	0,78	2,94	0,28	0,01	0,15	0,50	0,18
65	Π15	7,50	400,00	0,58	2,84	0,12	0,02	0,10	0,13	0,00
66	Π22	7,60	365,00	0,14	3,08	0,10	0,02	0,13	0,34	0,23
67	Π23	8,00	510,00	0,72	3,64	0,40	0,02	0,25	0,17	0,25
68	Π24	7,70	370,00	0,64	3,11	0,22	0,04	0,15	0,33	0,24
69	Π29	7,85	480,00	0,56	3,60	0,25	0,02	0,20	0,20	0,08
70	Π30	7,95	490,00	0,80	3,52	0,25	0,02	0,20	0,22	0,25
71	Π31	7,85	440,00	0,64	3,12	0,26	0,02	0,15	0,18	0,05
72	Π32	7,90	500,00	1,14	3,20	0,26	0,03	0,20	0,26	0,05
73	Π38	7,80	175,00	0,36	2,08	0,10	0,03	0,10	0,11	0,13
74	Π39	7,90	510,00	0,90	3,44	0,26	0,03	0,25	0,24	0,18
75	Π40	7,90	340,00	0,08	2,72	0,22	0,03	0,10	0,30	0,13
76	Π41	8,00	510,00	0,70	3,60	0,28	0,03	0,25	0,30	0,23

*pH [-log(H⁺), moles/l], **EC [μ S/cm]

Πίνακας 3: Αποτελέσματα των χημικών ανάλυσεων (meq/l) των υδροφόδων των μαρμάρων της περιοχής έφενας.

Table 3: Data matrix for 58 groundwater samples of marbles of the study area. (All values in meq/l unless otherwise noted).

Οι τιμές του pH κυμαίνονται σε ψηλά επίπεδα (pH>7), φανερώνοντας τον αλκαλικό χαρακτήρα των νερών και τη γοργόδη ανανέωσή τους.

Οι συγκεντρώσεις όλων των λόντων βρίσκονται μέσα στα όρια ποσημάτητας ($Na^+=6,5$ meq/l, $K^+=0,3$ meq/l, $SO_4^{2-}=5,2$ meq/l, $Cl^- = 5,6$ meq/l, $Mg^{2+}=0,08-1,42$ meq/l, $Ca^{2+}=1,88-3,64$ meq/l και $NO_3^- = 0,8$ meq/l).

Η ηλεκτρική αγωγιμότητα παρουσιάζει χαμηλές τιμές, μεταξύ 130-510 μ S/cm.

Η στατιστική επεξεργασία των υδροχημικών δεδομένων (VOUDOURIS et al 1997) των σημαντισμών των μαρμάρων, οδήγησε στην επιλογή ενός πενταμελούς μοντέλου που εκφράζει το 86,8% της ολικής διεκδίκιασης των δεδομένων.

Στον Πίνακα 4 δίνονται οι παραγοντικές φορτίσεις για τους πέντε παραγόντες.

Τα αποτελέσματα της ανάλυσης οδηγούν στο συμπέρασμα ότι η σκληρότητα των νερών των πηγών οι οποίες βρίσκονται στον ορεινό όγκο του Παραγάνου και κατανέμονται σε περιοχές επιφύλης των μαρμάρων με τεταρτογενή, οφείλεται στη διάλυση στη διάλυση του ανθρακικού αιθεροτόξικου ($CaCO_3$) και του ανθρακικού μαγνητίου ($MgCO_3$).

Μεταβλητές/Παράγοντες	1	2	3	4	5
pH	0,04	-0,72	-0,31	-0,06	-0,06
pH	0,20	0,33	0,82	-0,13	-0,13
EC	0,86	0,36	0,15	0,07	0,01
Mg	0,06	0,89	0,02	0,00	-0,22
Ca	0,91	0,01	0,35	0,03	0,02
Na	-0,08	0,25	-0,29	0,78	0,18
K	-0,07	-0,09	0,00	-0,00	0,94
Cl	0,42	0,81	0,04	0,00	0,13
SO ₄	0,14	-0,26	0,28	0,77	-0,19
NO ₃	0,33	-0,20	0,79	0,11	0,13
HCO ₃	0,87	0,13	0,13	-0,03	-0,18

Πίνακας 4: Πίνακας παρασημοτικών φρεστίσεων για το πενταμελές μοντέλο.

Table 4: Varimax rotated factor matrix (loadings for the varimax rotated 5-factor model).

Αντίθετα, οι πηγές του όρους Μενοίκιου κατανέμονται στα όρια των επαφών των μαρμάρων με νεογενείς σχηματισμούς από τους οποίους μάλιστα καλύπτονται στις οριομένες περιοχές (ΚΟΝΤΖΟΓΙΑΟΥ Ι., ΣΟΥΔΙΟΣ Γ. 1994). Τα μάρμαρα του όρους αυτού παρουσιάζουν συχνότερα εντορθώσεις σχιστολίθων, γνεύσιων και αμφιβολιτών από αυτά του Ηαγγαίου και στις οριομένες περιοχές καλύπτονται από νεογενείς αποθέσεις.

Η σκληρότητα των νερών των πηγών αυτής της περιοχής οφείλεται στη διάλυση θειέζικου μαγνητιού (MgSO₄) και θειέζικου αιθεοτίου (CaSO₄). Η πηγή των θειέζικών ιόντων στα νερά είναι τόσο οι σχηματισμοί των σχιστολίθων, γνεύσιων και αμφιβολιτών, όσο και οι νεογενείς αποθέσεις.

5. ΣΥΜΕΡΑΣΜΑΤΑ

Η μελέτη της ποιότητας των νερών των υδροφόρων σχηματισμών του υδατικού διαμερίσματος της ανατολικής Μακεδονίας οδηγήσει στα παρακάτω συμπέρασματα :

α. Στις τεταρτογενείς αποθέσεις αναπτύσσονται υδροφόροι των οποίων τα νερά χαρακτηρίζονται δισανθρακικά αιθεοτόπια.

Οι τιμές του pH που παρουσιάζουν είναι υψηλές, γεγονός που δηλώνει τον αλκαλικό χαρακτήρα τους καθώς και το σινεχή εμπλουτισμό τους με νέες υδάτινες μάζες.

Οον αφορά στη ωόπανση των υπόγειων υδάτων από ενώσεις του αξότου δεν έχει διαπιστωθεί, προς το παρόν τουλάχιστον, ιδιαίτερο πρόβλημα.

Στους νομούς Δράμας και Καβάλας λειτουργούν εκτός των ΒΙΠΕ και άλλες βιομηχανίες μεταποίησης και σινεκευασίας αρχοτικών προϊόντων (κονσερβοποιία "ΣΕΚΟΒΕ", ελαιουργεία κ.λ.π.), που χρησιμοποιούν τα επιφανειακά νερά για τη διοχέτευση των αποβλήτων τους.

Στο νομό Σερρών τόσο οι βιομηχανικές μονάδες (Σταθμός συγκέντρωσης γάλακτος "ΑΕΑΤΑ", κονσερβοποιία "ΣΕΚΟΒΕ", Ελληνική Βιομηχανία Ζαχάρεως κ.λ.π.), όσο και οι δήμοι και οι κοινότητες επέλεξαν το Στρυμόνα και τους παραποτάμους του για την ευκολότερη διοχέτευση των αποβλήτων τους.

Σε όλους τους νομούς επίσης του υδατικού διαμερίσματος γίνεται απόδριψη στερεών αποβλήτων (οκοντιδότοποι) κατά μήκος των υδροφοριάτων χωρίς να έχει προηγηθεί ανάλογη μελέτη.

Η μεγάλη παροχή του ποταμού Στρυμόνα βοηθά στην αραιότητα των φρεστίου των αιτικών, γεωργικών και βιομηχανικών λυμάτων που διοχετεύονται σινεχώς σ' αυτόν, ωστόσο ο κίνδυνος ωόπανσης των υπόγειων νερών δεν παίρει να υφίσταται καθώς ο ποταμός Στρυμόνας τροφοδοτεί τους υδροφόρους ορίζοντες των τεταρτογενών αποθέσεων.

Ψηφιακή Βιβλιοθήκη "Θεόφραστος" - Τμήμα Γεωλογίας. Α.Π.Θ.

Η παρονοία λιμναίων ιζημάτων καθώς και παλαιών φασοειδών σχηματισμών θαλάσσιας προέλευσης που έχουν απομείνει ύστερα από την αποξήρανση της παλιάς λίμνης του Αχεινού, δημιουργούν προβλήματα σε πολλές γεωτοήσεις της λεκάνης του Στρυμόνα τα οποία οφείλονται στις υψηλές τιμές οσκληρότητας και αγωγμάτητας των παρουσιάζουν.

Ένπιον πρόβλημα μεταλλιγόφορης δεν παρουσιάζεται παρέ μόνο σε ένα δείγμα στην περιοχή της Νέας Καρβάλης, που αντιστοιχεί σε γεωτοήση (Γ76) που βρίσκεται πολύ κοντά στην ακτή.

β. Τα υπόγεια νερά των υδροφόρων που αναπτύσσονται στους σχηματισμούς των μαρμάρων χαρακτηρίζονται ως διοανθρακικά ασβετούχα.

Η τιμές του pH σε όλα τα δείγματα κυμαίνονται σε υψηλά επίπεδα ($\text{pH} > 7$), γεγονός του δείχνει τον αλατικό χαρακτήρα των νερών.

Η ποιότητα των νερών με βάση τα αποτελέσματα των χημικών ανάλυσεων είναι πολύ καλή.

*Όσον αφορά στη μόλιսη των υδροφόρων από ενώσεις του αζώτου, αυτή δεν μετίσταται καθώς τα υψηλέτερα των ορεινών όγκων στους οποίους αναπτύσσονται οι σχηματισμοί των μαρμάρων είναι πολύ μεγάλα (Φαλακρό 2.232 μ., Παργαίο 1.956 μ., Μενοίκιο 1.963 μ.).

Η εφαρμογή της R-τύπου παραχοντικής ανάλυσης οδήγησε στο διαχωρισμό, δύον αφορά στη σημητήρα των νερών, μεταξύ των πηγών του όρους Μενοίκιου και αυτών του όρους Ηαγαίου.

ΒΙΒΛΙΟΓΡΑΦΙΑ

- VOUDOURIS K. S., LAMBRAKIS N. J., PAPATHEODOROU G., DASKALAKI P., 1997, Factor analysis for revealing hydrochemical parameters in Pliopleistocene aquifers of NW Achaia (NW Peloponnesus, Greece). **MATHEMATICAL GEOLOGY**, vol. 29, No 1, pp. 43-59.
- BRIZ-KISHORE, B. H., MURALI, G., 1989, Factor analysis for Revealing Hydrochemical Characteristics of a Watershed. **Environmental Geology and water sciences**, vol. 19, no 1, 3-9 pp.
- DAVIS, J. C., 1973, Statistical and Data Analysis in Geology, p 850, Wiley, New York.
- ΔΑΣΚΑΛΑΚΗ , Η., ΒΟΥΛΑΥΡΗΣ, Κ., 1996, Υδροχημεία των νερών του ποταμού Εβρου-Παραχοντική ανάλυση δεδομένων. **ΠΡΑΚΤΙΚΑ 2ου ΠΑΝΕΛΛΗΝΙΟΥ ΣΥΝΕΔΡΙΟΥ "ΕΓΓΕΙΟΒΕΑΤΙΩΤΙΚΑ ΕΡΓΑ-ΔΙΑΧΕΙΡΙΣΗ ΥΔΑΤ. ΗΠΩΡΩΝ-ΕΚΜΗΧΑΝΙΣΗ ΓΕΩΡΓΙΑΣ"**, τόμ. 2, σελ. 1293-1305.
- KACAROGLU, F.- GUNAY, G., (1997): Groundwater nitrate pollution in an alluvium aquifer, Eskisehir urban area and its vicinity, Turkey. **Environmental Geology** 31 (3/4) June 1997
- ΚΑΛΛΕΡΓΗΣ Γ. Α. , 1986, ΕΦΑΡΜΟΣΜΕΝΗ ΥΔΡΟΓΕΩΛΟΓΙΑ ΤΟΜΟΣ Α ΚΑΙ Β, ΕΚΔΟΣΕΙΣ ΤΕΕ, ΑΘΗΝΑ.
- ΚΑΤΣΙΚΑΤΣΟΣ Γ., 1992, ΓΕΩΛΟΓΙΑ ΤΗΣ ΕΛΛΑΔΑΣ, Εκδόσεις του Πανεπιστημίου Πατρών, ΑΘΗΝΑ.
- ΚΝΙΘΑΚΗΣ Μ. Α., 1983, Απογειαρική καροτικών πηγών Ελλάδας. Υδρολογικές και Υδρογεωλογικές Ερευνές, No 28/4, Ινστιτούτο Γεωλογικών και Μεταλλευτικών Ερευνών. Αθήνα.
- KONTZOGAOU I., ΣΟΥΛΙΟΣ Γ., 1994, Σημβολή στη μέλετη των ουσιοτητών εφρόπτωσης των καροτικών υδροφόρων συστημάτων του όρους Μενοίκιου (Μακεδονία), Ηρακλεία Σου Υδρογεωλογικού Συνδέσιου, τόμος Α, σελ 189-201.
- ΛΑΜΠΡΑΚΗΣ, Ν., 1991, Εισαγωγή στην Υδροζημιά, 158 σελ, Εκδόσεις Πανεπιστημίου Πατρών.
- LAMBRAKIS, N., VOUDOURIS, K., TINIAKOS, L.,N., KALLERGIS, G.A., (1997): Impacts of drought and overpumping on the Quaternary aquifers of the **Glaftos basin** (Patras region, W. Greece). **(Environmental Geology**, 29 (3/4) February 1997,pp. 209-216).
- OLESON, S. AND CARR, J., 1990, Correspondence analysis of water Quality Data. **Mathematical Geology**, vol 22, No 6, pp. 665-698.
- ΠΑΠΑΘΕΟΔΩΡΟΥ, Γ., ΦΕΡΕΝΤΙΝΟΣ, Γ. 1993, Εφαρμογές μεθόδων στατιστικής πολλαπλειστητής ανάλυσης σε προβλήματα μόλισης του θαλάσσιου περιβάλλοντος από βαρέα μέταλλα. **Προστικά 3ου Πανελλήνιου Γεωλογικού Επιδιώκοντος Τμήμα Γεωλογίας, Α.Π.Θ.**

SRINIVASA RAO, Y., REDDY, T.V.K., Chittor district, Andhra Pradesh, India. Environmental Geology
31 (3/4) June 1997.
W.H.O., (1984): Guidelines for drinking-water quality, vol. 2, Health criteria and other supporting
information. Geneva.